## Polarisation bei der Abscheidung der Alkalimetalle an der Quecksilberkathode

Coldinar tire of the standard of the standard of the

Von O. Essin, M. Loschkarev und K. Sofiysky

#### Einleitung

Die Natur der chemischen Polarisation bei der Entladung der Oxoniumionen wurde in der letzten Zeit vielseitig experimentell und theoretisch untersucht. In einer Reihe von Arbeiten, insbesondere von M. Volmer 1, A. Frumkin 2, R. Gurney 3 und M. Polanyi 4, wurde festgestellt, dass die H<sub>2</sub>O+-Überspannung in den meisten Fällen 5 durch verzögerte Entladung bedingt wird. Abgesehen von verschiedenen Betrachtungsmöglichkeiten dieses Schemas (Elektronen- oder Protonenübertritt, Aktivierungsenergie oder Tunneleffekt usw.), können die Grundlinien dieser Theorie zur Entladung der anderen Ionensorten angewandt werden. So kommt z. B. Naray-Szabo 6 zu dem Schluss, dass die Abscheidung der NH,+-Ionen an der Quecksilberkathode auch mit der verzögerten Entladung verbunden ist. Eine gewisse Ähnlichkeit zwischen NH,+und HoO+-lonen einerseits und zwischen NHa+ und Ionen der Alkalimetalle andrerseits lässt vielleicht die verzögerte Entladung der letzteren Ionen an der Hg-Kathode vermuten. In der Tat haben

<sup>&</sup>lt;sup>1</sup> Erdey-Gruz u. M. Volmer, Z. physik. Chem. (A), 150, 209 (1930); M. Volmer, Sow. Phys., 4, 358 (1933).
<sup>2</sup> A. Frumkin, Z. physik. Chem, (A) 160, 116 (1932); 164, 121 (1933).
<sup>3</sup> R. Gurney, Proc. Roy. Soc., 134, 137 (1931).
<sup>4</sup> J. Horiuti u. M. Polanyi, Acta Physicochimica URSS, 2, 505 (1935); vgl. auch Butler, Proc. Roy. Soc., 157, 423 (1936).
<sup>5</sup> Vgl. aber Kendler u. Knorr, Z. Elektrochem., 42, 669 (1936); Z. physik. Chem., (A) 176, 161 (1936).
<sup>6</sup> Naray-Szabo u. Szatinay, Z. physik. Chem., (A) 173, 89 (1935).

Stender 7 und Mitarbeiter darauf hingewiesen, dass die Stromdichte-Potentialkurve für Na+-Entladung an der Hg-Kathode der Gleichung für die Wasserstoffüberspannung unterliegt. Ausserdem muss bemerkt werden, dass einer der anderen möglichen Gründe

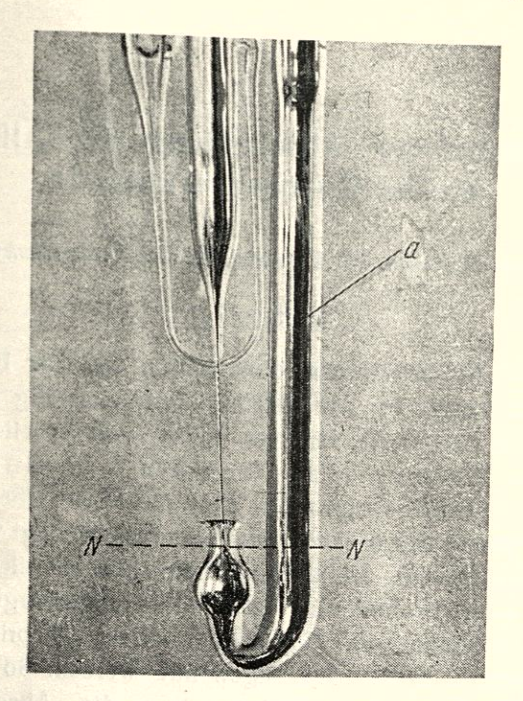


Fig. 1. Kathodenkonstruktion.

der Metallüberspannung, nämlich verzögertes Kristallwachstum an der Hg-Kathode, wahrscheinlich fortfällt. Es schien deshalb von Interesse, die Natur der Polarisation beider Entladung der Na+- und K+-Ionen an der Hg-Kathode etwas näher zu untersuchen.

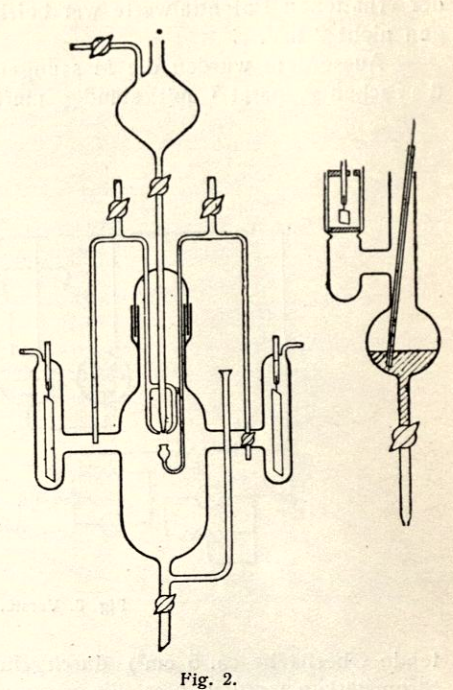
### Versuchsbedingungen

Als Kathode diente ein Quecksilberstrahl d=0,2 mm, h=2 cm und wirksame Oberfläche ca. 0,15 cm², der aus einer Kapillare herausfloss und mittels eines Siphons aus dem Elektrolyseur entfernt wurde (Fig. 1). Die

<sup>&</sup>lt;sup>7</sup> Stender, Stroganov u. Zivotinsky, Trans. Am. Electrochem. Soc., 68, 23 (1935).

Höhe des Meniskus in N-N (Fig. 1) wurde mit einem Hahn reguliert. Zu beiden Seiten, dicht bis an den Strahl, befanden sich die zwei Enden des elektrolytischen Hebers, der den Kontakt zwischen der Kathode und Bezugselektrode ( $Hg/Hg_2Cl_2$ , KCl gesättigt) sicherte. Das ganze System (Strahlkathode, Siphon, elektrolytischer Heber und das Druckgefäss mit Hg)

wurde in die obere Öffnung des Elektrolyseurs (am Hg-Verschluss) eingeführt (Fig. 2). Zwei Pt-Anoden, die sich mit der Strahlkathode in demselben Querschnitt des Elektrolyseurs befanden, wurden in spezielle Gefässe untergebracht, um die Diffusion der Anodenprodukte Kathode hin zu erschweren. Im unteren Teil des Elektrolyseurs (Inhalt ca. 1.5 1) war eine Glasröhre für die Wasserstoffeinführung und ein Hahn für die Entfernung der Lösung, bzw. der zufällig hierher geratenen Quecksilbermenge einge-Diese Kathodenkonschmolzen. struktion sicherte eine ununterbrochene und intensive Umrührung der Kathalytschicht, dass die Grenzstromdichte sogar bei 10 Amp/cm2 nicht erreicht werden konnte. Deswegen vernachlässigten wir bei den benutzten Stromdichten die Werte der Konzentrationspolarisation in der Lösung. Die K- und Na-Amalgame wurden elektrolytisch in dem Apparat, der in Fig. 2 (rechts) angegeben ist, bereitet. Der Anoden-



Elektrolyseur (links) und Gerät zur Bereitung des Amalgams (rechts). Der Strom wird durch den oberen Trichter an die Strahlkathode herangeführt.

raum war durch ein Glasdiaphragma getrennt. Vor jedem Versuch liess man elektrolytisch erhaltenen und getrockneten Wasserstoff eine Stunde lang durch den Elektrolyseur hindurchgehen. Die Lösungen wurden aus hemisch reinem NaCl, bzw. KCl und NaOH bereitet, und ihre Zusammensetzung (OH'- und Cl'-Konzentrationen) wurde wie gewöhnlich bestimmt. Die Konzentration der Alkalimetalle im Amalgam wurde durch Titration der nach der Zersezzung des Amalgams erhaltenen Lösung mittels 0,75 norm. HCl und Rosalsäure, bzw. Methylrot als Indikator ermittelt. Das metallische Quecksilber wurde sorgfältig gereinigt; zuerst wurde es mit CrO<sub>3</sub>-Lösung gewaschen, dann 24 Stunden mit durchströmender Luft in schwach angesäuerter Hg<sub>2</sub> (NO<sub>3</sub>)<sub>2</sub>-Lösung durchgerührt, dann durch dieselbe Lösung und dreimal durch destilliertes Wasser getröpfelt.

Die Kathodenpotentiale wurden nach der direkten Kompensationsmethode mittels eines 3-Lampenverstärkers (s. Fig. 3) (zwei — UB 132 und eine UB 152) gemessen. Als Nullinstrument diente ein Spiegelgalvanometer, von ca. 10-6 A Empfindlichkeit. Die Brückenlänge betrug ca. 18 m. Die Diffusionspotentiale wurden wie gewöhnlich eliminiert. Die Reproduzierbarkeit der erhaltenen Potentialwerte war befriedigend und Abweichungen überstiegen nicht 2 mV.

Ausserdem wurden die Messungen in dem etwas modifizierten Stenderschen Apparat 7 mit ständig umrührender Quecksilberkathode (arbei-

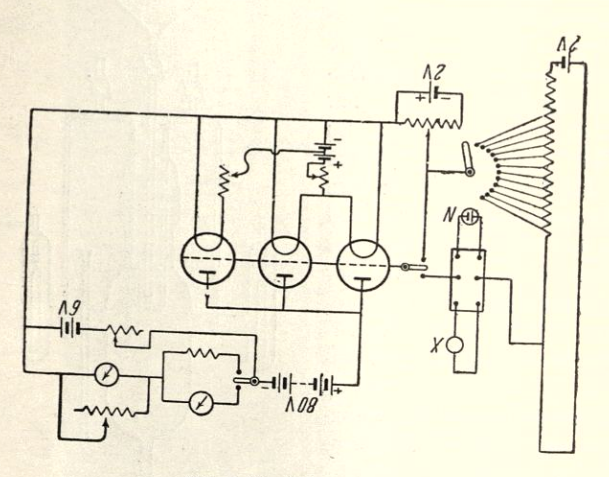


Fig. 3. Verstärkerschema.

tende Oberfläche ca. 5 cm²) durchgeführt (s. Fig. 4). Infolge der grossen Stromstärken wurden hier die Anoden nicht nur in speziellen Gefässen untergebracht, sondern noch durch ein Diaphragma von den Kathalyten getrennt. In diesen Versuchen wurde die Konstanz der Umdrehungszahl sorgfältig reguliert.

## Experimentelle Ergebnisse

## 1. Versuchsdaten für Na+-Entladung

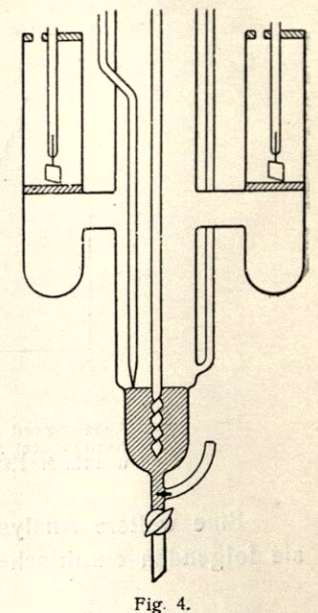
Als Kathode diente entweder reines Quecksilber oder das ca. 8 · 10-3 Gewichtsprozente Natrium enthaltende Amalgam. Um die Stromdichte-Potentialkurve, die eigentlich der Na+-Entladung entspricht, zu erhalten, wurden die Na-Stromausbeuten gemessen. Wie die Versuche zeigten, hängen die Stromausbeuten von der Na-Konzentration im Amalgam ab und ändern sich für unseren Bereich der

Stromdichten und c NaCl nur sehr wenig mit der NaCl-Konzentration in der Lösung. In der folgenden Tabelle 1 (S. 439) sind die Stromaus-

beuten für die Kathode aus reinem Quecksilber und aus dem Amalgam angegeben.

In den Fällen, wo 3,6 norm. NaOH als Elektrolyt benutzt wurde, waren die Stromausbeuten für die Hg- und Amalgamkathode gleich und fast dieselben in konzentrierten NaC1-Lösungen an der Hg-Kathode. Die Na-Stromausbeuten für andere Versuche wurden aus den in Tabelle 1 angegebenen Werten graphisch ermittelt.

Die Resultate der Potentialmessungen für verschiedene Stromdichten der NaClund NaOH-Konzentrationen und für beide Kathoden sind in den folgenden Tabellen (2,3, S. 440--441) angeführt. Die Potentialwerte sind hier nicht in der Wasserstoffsondern gegen eine gesättigte Einige Abänderungen des Sten-Kalomelelektrode angegeben.



d e r schen Elektrolyseurs.

#### 2. Diskussion der Versuchsergebnisse

a) Abhängigkeit der Stromdichte vom Kathodenpotential. Die erhaltenen Resultate wurden hauptsächlich vom Standpunkt der Anwesenheit der chemischen Polarisation, nämlich der verzögerten Entladung der Na+-Ionen diskutiert, da das verzögerte Kristallwachstum 8 oder verzögerter Materialtransport zu den Kristallisationszentren 9 hier kaum realisierbar sind.

In Fig. 5 sind die gefundenen Beziehungen zwischen E bzw.  $\eta$  und log D'(D'=AD) für die Hg- und Amalgamkathoden (Versuche 1 und 4) angegeben. Man sieht, dass die geradlinige Beziehung, die die Theorie der verzögerten Entladung zwischen E bzw.

<sup>8</sup> Erdey-Gruz u. Volmer, Z. physik. Chem., (A), 157, 165 (1931). 9 Brandes, Z. physik. Chem., (A), 142, 92 (1929).

 $\eta$  und D' fordert, hier nicht zutrifft. Ähnliche Resultate erhält man für andere Versuche.

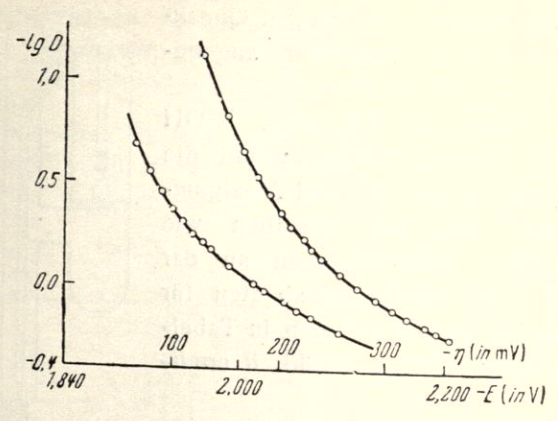
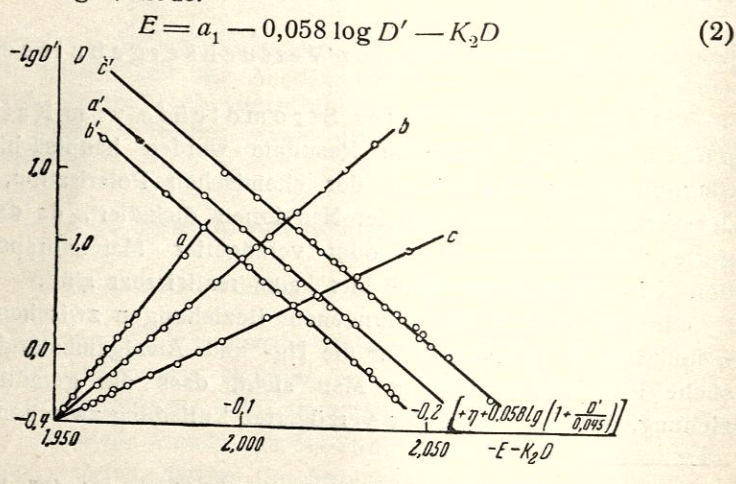


Fig. 5. Abnängigkeit des Kathodenpotentials E und der "Polarisation"  $(\eta)$  von log D' für die Amalgamkathode a und für die Kathode aus reinem Quecksilber b, Versuche No. 1 u. 4.

Eine weitere Analyse der Versuchsergebnisse hat gezeigt, dass sie folgenden empirischen Gleichungen für die Amalgamkathode:

$$\eta = -0.058 \log \left(1 + \frac{D'}{K_1}\right) - K_2 D \tag{1}$$

und für die Hg-Kathode:



Pig. 6.
Die Geraden a, b, c, a', b' und c' entsprechen den Versuchen 2, 1, 3, 5, 4 und 6.

genügen. Theoretisch kann man diese Gleichungen z. B. unter der Annahme einer Konzentrationspolarisation in der Quecksilberkathode selbst (d. h. wenn die Na-Konzentration in der äusseren Schicht der Kathode infolge der verzögerten Diffusion grösser als innerhalb des Quecksilberstrahls ist) und aus dem Ohmschen Widerstand der Lösung zwischen dem elektrolytischen Heber und der Kathodenober-

Tabelle 1

Stromdichte  D A/cm²	Na-Stromaus- beute für die Hg-Kathode bei 18° C A	D A/cm²	A — für die Amalgam- kathode bei 18° C	
0,015	0,802	0,034	0,10	
0,038	0,94	0,072	0,75	
0,076	0,99	0,183	0,923	
0,080	0,98	0,245	0,96	
0,125	0,98	0,333	0,98	
0,160	0,994	0,40	0,995	
0,213	0,985	0,437	0,975	
0,315	0,98	0,60	0,97	
0,461	0,99	0,734	0,955	
0,489	0,996	1,0	0,94	
0,711	0,998	1,2	0,935	
1,64	0,987	1,7	0,93	
2,0	0,995		14911	
2,9	0,986			
6,9	0,96		n resp.	

fläche ableiten. Bei dieser Annahme muss die Grösse  $K_1$  (wie aus der Theorie der Konzentrationspolarisation folgt) direkt proportional der Anfangskonzentration des Natriums im Amalgam und von der Zusammensetzung der Lösung unabhängig sein. In der Tat war  $K_1$  in allen unseren Versuchen mit der Amalgamkathode konstant und gleich 0,045. Weiter muss  $K_1$  für die Kathode aus reinem Quecksilber sehr gross (theoretisch unendlich gross) sein. Dann fällt 1 neben  $\frac{D}{K_1}$  in der Klammer weg, und die Gleichung (1) geht in Gleichung (2) über.

b) Der Ohmsche Widerstand. Um festzustellen, ob der Koeffizient  $K_2$  wirklich dem Ohmschen Widerstand der Lösung entspricht, wurden die Grössen 0,058  $\log\left(1+\frac{D'}{K_1}\right)$  von den Werten von  $\eta$  für die Versuche 1, 2 und 3 subtrahiert und die erhaltenen Werte als

Tabelle 2 Abhängigkeit der Polarisation ( $\eta=E-E_r$ ) an der Amalgamkathode von der Stromdichte (D) bei 18° C.

ür gesätt. NaCl $E_r = -1,965 \text{ V}$ (Versuch 1)		Für 3,6 norm. NaOH $E_r = -1,974 \text{ V (Versuch 2)}$		Für 3 norm. NaCl $E_r = -1,980 \text{ V (Versuch 3)}$	
D A/cm <sup>2</sup>	ηmV	D A/cm <sup>2</sup>	ηmV	D A/cm <sup>2</sup>	η mV
				1	
0,200	-63,5	0,067	-27,4	0,067	-34,0
0,267	<b>—77,7</b>	0,133	-43,8	0,093	<b>-44,1</b>
0,333	-89,5	0,200	-56,5	0,120	-53,6
0,400	-99,5	0,267	-66,6	0,147	-64,3
0,467	-110,2	0,33	<del>-76,1</del>	0,173	-68,4
0,533	-119,8	0,40	<b>-84,7</b>	0,200	-79,6
0,600	-129,2	0,468	-93,1	0,267	<b>-97,9</b>
0,667	-137,7	0,535	-101,0	0,333	-117,0
0,800	-155,2	0,600	-108,4	0,400	-131,6
0,933	-172,5	0,800	-130	0,467	-147,6
1,000	-181,4	0,936	-143,5	0,600	-177,0
1,067	-190,1			0,733	-267,5
1,200	-206,3		1	0,853	-231,8
1,330	-222,2			1,000	-260,4
1,453	-236,6			-,000	250,1
1,692	-264,6				

Funktion der Stromdichte (Fig. 6) dargestellt. Die auf diese Weise gefundene geradlinige Abhängigkeit zwischen  $\left[\eta-0,058\log\left(1+\frac{D'}{0,045}\right)\right]$  und D geht, wie dies im Falle des Ohmschen Widerstandes sein muss, durch den Ursprung des Koordinatensystems und zeigt ausserdem die Übereinstimmung der Gleichung (1) mit dem Versuchsmaterial. Für diese drei Versuche sind die entsprechenden

 $K_2$ -Werte 0,069; 0,102 und 0,182. Da die anderen Versuche mit der Hg-Kathode in derselben Lösung durchgeführt wurden, so müssen die  $K_2$ -Werte auch hier dieselben sein. In der Tat erhält man eine geradlinige Abhängigkeit zwischen  $E+K_2D$  und  $\log D'$  mit

Tabelle 3

Abhängigkeit des Potentials (E) der Hg-Kathode von der Stromdichte bei 18° C

Für gesätt. NaCl (Versuch 4)		Für 3,6 norm. NaOH (Versuch 5)		Für 3 norm. NaCl (Versuch 6)	
D A/cm²	E V	D A/cm <sup>2</sup>	EV	D A/cm <sup>2</sup>	EV
0,067	-1,968	0,067	-1,976	0,100	-2,01
0,133	-1,992	0,133	-1,997	0,133	-2,026
0,200	-2,008	0,200	-2,012	0,167	-2,038
0,267	-2,022	0,267	-2,023	0,200	-2,049
0,333	-2,034	0,333	-2,033	0,230	-2,059
0,400	-2,045	0,400	-2,042	0,267	-2,069
0,468	-2,056	0,468	-2,051	0,300	-2,078
0,535	-2,067	0,535	-2,059	0,333	-2,08
0.600	-2.075	0,600	-2,067	0,400	-2,10
0,667	-2,085	0,667	-2,075	0,461	-2,11
0.800	-2,104	0,733	-2,082	0,501	-2,12
0,936	-2,121	0,800	-2,089	0,561	-2,145
1,070	-2,138	122 Y . 7 201	TIDEAT DESCRIPTION	0,605	-2,15
1,200	-2,155	300 30 40 5	in Democratic	0,653	-2,16
1,333	-2,187	. This is it	an Azar Erab	0,727	-2,179
1,560	-2,198			0,760	-2,184
1,693	-2,213		Askini da	0,860	-2,206
			EDWIN TO THE T	0,980	-2,232
,		ii sirwitsiis		0,693	-2,374

den Neigungskoeffizienten 0,057; 0,058 und 0,059 (s. Fig. 6), wenn man die entsprechenden  $K_2$ -Werte aus den Versuchen 1, 2, und 4 benutzt. Endlich müssen die  $K_2$ -Koeffizienten annähernd umgekehrt proportional den spezifischen Leitfähigkeiten der Lösungen sein. Ein Vergleich der  $K_2$ -Werte für die gesättigte NaCl- und 3,6 norm. NaOH-Lösung (0,102:0,069=1,49) mit ihren spezifischen Leitfä-

higkeiten  $^{10}$   $\left(0,21:0,32=\frac{1}{1,53}\right)$  bestätigt diese Forderung. Geht man ferner von der einfachsten Form des Ohmschen Gesetzes:  $K_2D=\frac{l}{X}$  D (es ist kaum notwendig, bei dieser Berechnung die exakte Form anzuwenden) aus, so kann man den Abstand zwischen Heber und Kathodenoberfläche abschätzer. Man erhält ca. 0,02 cm, was mit der direkten Ermittelung übereinstimmt. Auf diese Weise wurde festgestellt, dass das Glied  $K_2D$  in unseren Gleichungen nur durch den Ohmschen Widerstand bedingt wird.

c) Konzentrationspolarisation in der Quecksilberkathode. Die Kathodenpolarisation selbst hängt also folgendermassen von der Stromdichte ab:

$$\pi = -0.058 \log \left(1 + \frac{D'}{K_1}\right). \tag{3}$$

Diese Abhängigkeit braucht im allgemeinen nicht nur die Folge der Konzentrationspolarisation im Quecksilber zu sein, sondern kann auch als Resultat der einfachen, gleichmässigen Vergrösserung der Na-Konzentration in einem beliebigen horizontalen Querschnitt des Strahls oder als ein spezieller Fall der verzögerten Entladung der Na+-Ionen (nämlich bei  $\alpha_1 \to 1$  und  $\alpha_2 \to 0$ ) betrachtet werden. Ein solcher Wert für  $\alpha_1$  ist vielleicht nicht völlig ausgeschlossen. Vom Standpunkt der Gurneyschen Theorie (Elektronenübertritt, Tunneleffekt) wird  $\alpha_1$  sich der Null (bzw.  $\gamma$  der 1) nähern, wenn z. B. die Abstossungskräfte zwischen den Entladungsprodukten (d. h. Atom und Solvathülle) im entsprechenden Abstand sehr klein sind. Nach der Theorie von Frumkin-Polanyi (Protonen- bzw. Ionenübertritt) trifft dies zu, wenn eine der beiden Potentialenergiekurven, nämlich die Kurve für die Wechselwirkung von Na+-Ion und H2O-Molekül fast senkrecht die andere (Wechselwirkung von Na+ und Hg) schneidet. Diese Kurvenanordnung ist bei der Na+-Entladung unter Umständen möglich, da das reversible Potential des Natriums sehr negativ ist.

Betrachten wir die erste Möglichkeit. Nimmt man also an, dass die Diffusionsgeschwindigkeit der Na-Atome im Quecksilber genü-

 $<sup>^{10}</sup>$  Vgl. Kohlrausch "Das Leitvermögen der Elektrolyte", 1916. Man darf nicht den  $K_2$ -Wert für 3,0 norm. NaCl-Lösung mit den anderen  $K_2$ -Werten vergleichen, da er mit einer anderen Heberstellung erhalten worden ist.

gend gross ist, um die Na-Konzentration in einem horizontalen Querschnitt der Kathode gleichmässig zu machen, so kann man folgende Beziehung für die einfache Vergrösserung der Na-Konzentration im Hg schreiben:

$$C_h = C_0 + \frac{l - h}{l} \frac{S}{FV} D', \tag{4}$$

wo  $C_h$ —die Na-Konzentration im Quecksilber in der Höhe h vom unteren Ende des Strahls bis zur Heberlage,  $C_0$ —die Anfangskonzentration des Natriums im Hg, l—die Länge und S die Oberfläche des Strahls, F = 96500 Coul. und V — die Volumengeschwindigkeit der Hg-Kathode (cm³/sec.) sind. In diesem Falle kann die Abhängigkeit der "Polarisation" von der Stromdichte folgendermassen ausgedrückt werden:

$$\pi = E - E_p - K_2 D = -0.058 \log \frac{C_h}{C_0} =$$

$$= -0.058 \log \left( 1 + \frac{l - h}{l} \frac{S}{FVC_0} D' \right).$$

Da die Grössen S=0,15 cm², F,  $C_0$  und  $V=\frac{0,629}{13,6}$  cm³/sec. bekannt sind, so kann man  $\frac{1}{K_1}$  aus der Gleichung (3) berechnen. Man erhält 0,7  $\frac{l-h}{l}$ , wo  $\frac{l-h}{l}>1$  ist. Vergleicht man diese Grösse mit dem experimentell gefundenen  $\frac{1}{K_1}=\frac{1}{0,045}=22$ , so sieht man, dass diese Erklärung für die Polarisation unmöglich ist. Die gleichmässige Vergrösserung der Na-Konzentration im Hg durch den Strom spielt hier also praktisch keine Rolle.

Betrachten wir die zweite Möglichkeit. Die Beziehung zwischen Stromdichte und Potential kann für die verzögerte Entladung der Na+-Ionen unter der Voraussetzung, dass  $\alpha_1$  nach 1 und  $\alpha_2$  nach Null streben, durch folgende Gleichung wiedergegeben werden. (Da unsere Lösungen sehr konzentriert sind, so fällt das  $\zeta$ -Potential aus der Gleichung heraus):

$$D' = K_{1}C_{Na}^{\circ} + e^{-\frac{EF}{RT}} - K_{II}C_{0}$$

oder

$$E = +0.058 \log \frac{K_{\rm I} C_{\rm Na}^{\circ} +}{K_{\rm II} C_{\rm 0}} - 0.058 \log \left(1 + \frac{1}{K_{\rm II} C_{\rm 0}} D'\right), \quad (5)$$

wo  $C_{\mathrm{Na}+}^{\circ}$ —die Na<sup>+</sup>-Konzentration in der Lösung und  $C_{\mathrm{0}}$ —die Na-Konzentration im Quecksilber sind. Die Gleichung (5) ist also völlig analog der Gleichung (2), und der Koeffizient neben der Stromdichte ist auch der Anfangskonzentration des Natriums im Hg umgekehrt proportional. Aber die Geschwindigkeitskonstante der Gegenreaktion  $(K_{\mathrm{II}})$  in der Gleichung (5) hängt nicht von der Strömungsgeschwindigkeit des Hg-Strahls ab, während diese Abhängigkeit für  $K_{\mathrm{I}}$  im Falle der Konzentrationspolarisation vorliegen muss. Da die entsprechenden Versuche gezeigt haben, dass sich das Potential mit der Strömungsgeschwindigkeit ändert, so ist die Annahme der verzögerten Entladung allein nicht imstande, das Versuchsmaterial zu erklären.

Endlich kann man annehmen, dass die verzögerte Entladung und Konzentrationspolarisation im Quecksilber gleichzeitig existieren. Dann erhält man unter gewissen Annahmen folgende Beziehung zwischen Stromdichte und Potential:

$$D' = K_{\rm I} C_{\rm Na}^{\circ} + e^{-\frac{EF}{RT}} - K_{\rm II} C_0 \left( 1 + \frac{K}{C_0} D' \right).$$
 (6)

(Diese Abhängigkeit geht bei sehr grossem, aber  $K_{\rm II}$  vergleichbarem  $K_{\rm I}$  in den Ausdruck für die reine Konzentrationspolarisation im Hg und umgekehrt, bei sehr kleinem K in die rein verzögerte Entladung über).

Aus der Gleichung (6) folgt, dass

$$E = -0.058 \log \frac{[K_{\rm II}C_0 + D'(1 + KK_{\rm II})]}{K_{\rm I}C_{\rm Na}^{\circ}}.$$
 (7)

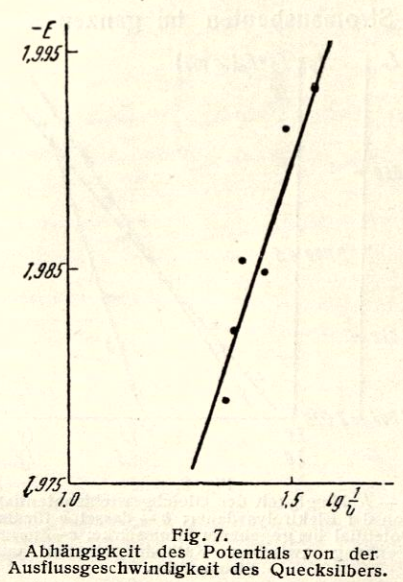
Die Gleichung (7) zeigt, dass E hier von der Strömungsgeschwindigkeit V des Strahls abhängen muss. Um diese Abhängigkeit zu untersuchen, wurden die Versuche bei konstanter Stromdichte und mit reiner Quecksilberkathode durchgeführt. Da die Anfangskonzentration ( $C_0$ ) hier Null (und deshalb  $K > C_0$ ) ist, so fällt die Grösse  $K_{\rm II}C_0$  in der Gleichung (7) weg, wenn sogar  $K_{\rm II}$  gross ist. Ausserdem kann man in erster Annäherung annehmen, dass K umgekehrt proportional der Strömungsgeschwindigkeit ist, d. h.

$$K = \frac{K'}{V};$$

dann ist

$$E = a' - 0.058 \log \left( 1 + \frac{K'K_{\text{II}}}{V} \right).$$
 (8)

Wenn die verzögerte Entladung hier keine merkliche Rolle spielt, d. h. wenn  $K_{\rm II}$  genügend gross ist, so kann man die 1 in der Klammer vernachlässigen. Dann erhält man eine geradlinige Beziehung zwischen E und log V mit dem Neigungskoeffizient von 0,058. Wie aus der Fig. 7 folgt, bestätigen die Versuche diese Abhängigkeit. Auf diese Weise findet bei der Na+-Entladung



an einer Kathode aus reinem Quecksilber und einem Amalgam aus Lösungen einfacher Salze nur die Konzentrationspolarisation statt.

#### 3. Versuche mit der umrührenden Kathode

Um zu zeigen, dass man dieselben Abhängigkeiten mit anderer Kathodenkonstruktion, nämlich im Stenderschen Apparat (Fig. 4) erhalten kann, wurden die folgenden Versuche durchgeführt. Das Quecksilbervolumen war ca. 20 cm³ und die arbeitende Kathodenoberfläche ca. 5 cm². Um die Amalgamkorrosion zu erschweren und die Stromausbeuten ca.  $100^{0}/_{0}$ -ig zu machen, wurde die 3 norm. NaOH-Lösung als Elektrolyt verwandt. Es wurde das gewöhnliche Kompensationsschema ohne Verstärker benutzt. 50 Minuten lang wurde das Potential E unter Strom (die Stromstärke betrug ca. 0,32 A) und das Potential E, ohne Strom abwechselnd als Funktion

der Zeit, als Funktion der Na-Konzentration im Hg gemessen. Dann wurde die Stromdichte-Potentialkurve rasch, aber mit gleichzeitigen Messungen der  $E_r$ -Werte aufgenommen. In Fig. 8 sind die Beziehungen zwischen den  $E_r$ -Werten und  $\log t$ , E und  $\log (K+t)$  und  $(E-E_r)$  und  $[\log (1+K'D)+\log (1-K''D)]$  angegeben.

Die geradlinige Beziehung zwischen  $E_r$  und  $\log t$  (s. a-Kurve) zeigt, dass die Na-Stromausbeuten im ganzen Messbereich konstant

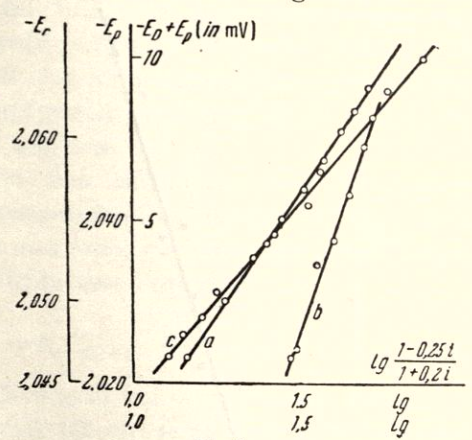


Fig. 8.

a — Abhängigkeit des Gleichgewichtspotentials von der Elektrolysedauer; b — dasselbe für das Potential bei gegebener Stromstärke; c—Zusammenhang zwischen Kathodenpotential und Stromstärke.

waren. Die zweite geradlinige Beziehung (b-Kurve) zwischen E und  $\log (K+t)$  entspricht völlig der Konzentrationspolarisation im Hg. Endlich weist die letzte Gerade (c) darauf hin, dass in diesem Versuche (d. h. mit dieser Kathodenkonstruktion) ausser Konzentrationspolarisation im Hg [ $\log (1+0.2i)$ ] Konzentrationspolarisation auch in der Lösung [ $\log (1-0.25i)$ ] vorhanden ist. Die hier gefundenen Resultate bestätigen also völlig die obengemachten Schlussfolgerungen über den Charakter der Polarisation bei der Na<sup>+</sup>-Entladung an der Hg-Kathode.

# 4. Polarisation bei der K+-Entladung an der Hg-Kathode

Die Messungen wurden an der Strahlkathode in KCI-Lösungen verschiedener Konzentrationen für die Amalgame in der 3 norm.

KOH-Lösung für reines Quecksilber gemacht. Die Versuchsergebnisse sind in folgenden Tabellen 4 und 5 zusammengestellt.

Die erhaltenen Versuchsergebnisse werden analog wie bei der Na<sup>+</sup>-Entladung durch die Gleichungen (1) und (2) dargestellt. Die Koeffizienten  $K_2$  sind hier für die 1 norm., 2 norm. und 3,55 norm. KC1-Lösungen entsprechend 0,522; 0,279 und 0,216 und den spezifischen Leitfähigkeiten (0,09; 0,17 und 0,28) umgekehrt propor-

Tabelle 4

Stromstärke i in A		de mit K-Konzentration  -40/0, 1 norm. KC1	Hg-Kathode, 3 norm. KOH		
	Stromaus- beute: A	η= <i>EE</i> <sub>r</sub> mV	A	E V	
0	86,0	(Clost == 1) (CR	- 54	l Ross	
0,01	0,95	-102	3	1 - min	
0,02	0,95	—149	0,98	-2,008	
0,03	0,95	-185	0,98	-2,025	
0,04	0,95	-221	0,98	-2,039	
0,05	0,95	-250	0,98	-2,053	
0,06	0,95	-277	0,98	-2,064	
0,07	0,95	-306	0,98	-2,074	
0,08	0,95	-331	0,98	-2,086	
0,09	0,95	-360	0,98	-2,096 ( $i=0.9$	
0,10	0,95	-392 (i = 0,103)	0,98	-2,103	

tional. Was die Koeffizienten  $K_2$  anbetrifft, so sind sie, wie es die Konzentrationspolarisation im Hg fordert, von der Zusammensetzung der Lösung unabhängig und der Anfangskonzentration des Kaliums im Amalgam direkt proportional. In der Tat ist  $K_1$  für das ca.  $30 \cdot 10^{-4}$  gewichtsprozentige K-Amalgam [gleich 0.012-0.013 (für 2 norm. und 3.55 norm. KCl-Lösungen) und für ca.  $5 \cdot 10^{-4}$  prozentiges Amalgam ca. 0.0022 (1 norm. KCl). In Fig. 9 sind die Geraden a, b und c für die Amalgamkathode (1 norm., 2 norm. und 3.55 norm. KCl) und d für die Hg-Kathode (3 norm. KOH), die das Gesagte illustrieren, angeführt.

Bei der K<sup>+</sup>-Entladung an der Strahlkathode existierte also auch wie bei Natrium nur Konzentrationspolarisation.

Tabelle 5

Amalga  Amalga	A CONTRACTOR OF THE PARTY OF TH	Amalgamkathode, $C_{\rm K} = 3 \cdot 10^{-3}  {\rm o}/{\rm o}$ 2 norm. KC1		Amalgamkathode, $C_{\rm K} = 3 \cdot 10^{-3}$ o 3,55 norm. KCl		
		A	ηmV	A	η m V	
0,010	0,75	_47	0,75	-44		
0,014	0,80	-60	_			
0,020	0,92	-79 (i = 0.021)	0,80	-68		
0,026	0,92	-95	0,90	$-90 \ (i = 0.03)$		
0,035	0,93	-108	_	_		
0,040	0,93	-122 (i = 0.042)	0,93	-109		
0,049	0,95	-134	_	0.0		
0,056	0,95	—146	_	_		
0,060	0,95	-158 (i = 0.063)	0,95	-143		
0,070	0,95	171	0,95	-158		
0,081	0,95	-190	0,95	-191 (i = 0.095)		
0,100	0,95		0,95	—198		
0,115	0,95	-233 (i = 0,111)	0,95	-214		
0,122	0,95	-246	0,95	-228 (i - 0.126)		
0,132	0,95	4	0,95	-235		
0,142	0,95	-285 (i = 0.144)	0.95	-249		

# 5. Versuche mit CH3OH enthaltenden Lösungen

Um festzustellen, ob die Konstante  $K_1$  der Gleichung (1) von der Natur des Lösungsmittels unabhängig ist, wurden die Potentialmessungen an der umrührenden Kathode für eine 1,5 norm. NaCl-Lösung in reinem Wasser und in einem Gemisch mit Methylalkohol  $(50^{\circ}/_{\circ})$  Volumenprozente) durchgeführt. Die Umdrehungszahl, Temperatur, Hg-Volumen und die anderen Bedingungen wurden konstant gehalten. In Fig. 10 sind die geradlinigen Beziehungen zwischen E und log (t+K) für reines Wasser (b) und für das Gemisch mit Me-

thylalkohol (a) angegeben. Ein Vergleich dieser Abhängigkeiten weist darauf hin, dass  $K_1$  in beiden Fällen gleich und von der Natur des Lösungsmittels wahrscheinlich überhaupt unabhängig ist.

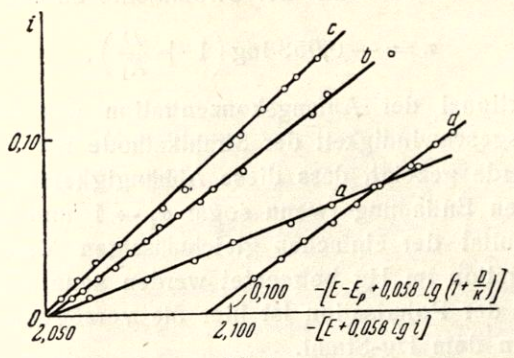


Fig. 9. Die Geraden a, b, c und d entsprechen den Lösungen 1 norm., 2 norm., 3,5 norm. KCl und 3 norm. KOH.

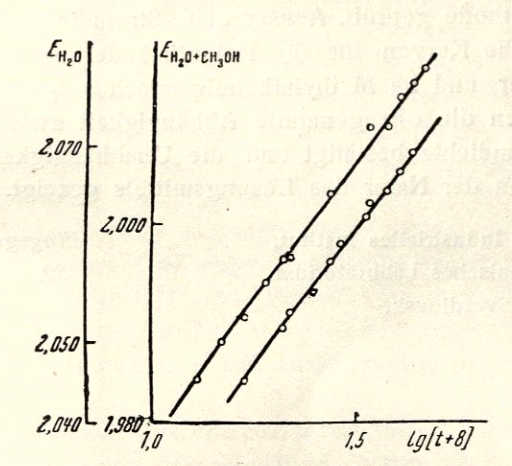


Fig. 10.
Abhängigkeit des Kathodenpotentials von der Zeit für die alkoholwässrige (a) und die wässrige (b) Lösung von NaCl.

#### Zusammenfassung

1. Es wurde die Stromdichtepotentialkurve für die Na+- und K+-Entladung an einer Strahlkathode (Quecksilber mit verschiedenen Anfangskonzentrationen des Alkalimetalls) aus konzentrierten

wässrigen Lösungen der Chloride und Hydrate der entsprechenden Metalloxyde aufgenommen.

2. Es wurde festgestellt, dass die hier stattfindende Polarisation sich folgendermassen mit der Stromdichte ändert:

$$\pi = -0,058 \log \left(1 + \frac{D}{K_1}\right)$$
,

wo  $K_1$  proportional der Anfangskonzentration des Amalgams und der Strömungsgeschwindigkeit der Strahlkathode ist.

- 3. Es wurde gezeigt, dass diese Abhängigkeit weder als Folge der verzögerten Entladung (wenn sogar  $\alpha_1 \to 1$  und  $\alpha_2 \to 0$  gehen), noch als Resultat der einfachen gleichmässigen Vergrösserung der Metallkonzentration im Hg betrachtet werden kann. Der wahrscheinlichste Grund der Polarisation ist hier die verzögerte Diffusion der Metallatome in dem Hg-Strahl.
- 4. Die an der Strahlkathode erhaltenen Ergebnisse wurden mit anderer Kathodenkonstruktion, nämlich in einem Apparate mit ständig umrührender Hg-Kathode geprüft. Ausser den Stromdichtepotentialkurven wurden her die Kurven für die Potentialänderung mit der Zeit in reinem Wasser und im Methylalkoholgemisch aufgenommen. Diese Versuche haben die obengenannte Abhängigkeit zwischen Polarisation und Stromdichte bestätigt und die Unabhängigkeit des Koeffizienten  $K_1$  von der Natur des Lösungsmittels gezeigt.

Uralisches Industrielles Institut, Elektrochemisches Laboratorium, Sverdlovsk

Eingegangen am 20. April 1937.